

Bilder werden üblicherweise als Matrix gespeichert, deren Einträge pixelweise den Grauwert des entsprechend nummerierten Pixels enthalten, bzw. bei Farbbildern den Anteil einer der drei Farbkomponenten Rot, Grün oder Blau (= RGB).

RGB wird meist in der YUV-Form umgewandelt, bei der die Matrix Y die Helligkeit beschreibt, und U und V den Farbton (U, V lassen sich stärker komprimieren!).

JPEG zerlegt das Bild in 8 x 8 – Pixel große Blöcke, die zunächst getrennt bearbeitet werden. Auf jede dieser Teilmatrizen wird eine zweidimensionale Cosinus-Transformation angewandt: DCT

Warum DCT, warum nicht DFT?

Aus Anwendung der DCT erhält man für die Teilmatrizen wieder die Frequenzanteil-koeffizienten a_k und b_k in Teilmatrizen.

Die Teilmatrix mit den Frequenzanteilen wird nun quantisiert, d.h. die darin stehenden reellen Zahlen werden bestimmten Zahlenintervallen zugeordnet und Intervallweise jeweils durch eine Zahl angenähert, die für ein ganzes Intervall gilt. Maschinenzahlen!

Dadurch werden auch automatisch alle kleinen Komponenten, die in dem ersten Intervall mit den kleinsten Werten liegen, durch Null ersetzt.

Dies erzeugt einen Qualitätsverlust!

*Die entstandene Gesamtmatrix aus den diskreten Zahlenwerten wird codiert – **Huffman-Codierung***

Nachteile:

Fourier-Methoden haben Schwierigkeiten mit Kanten in Bildern
Kanten \leftrightarrow Unstetigkeiten

Durch stetige Funktionen $\cos(kx)$, $\sin(kx)$ sind Kanten schlecht darstellbar! Differenzierbarkeit!

Kosten der DCT: $O(n \log(n))$ bei n Pixel. Zu teuer.

Daher DCT auf 8×8 -Blöcke.

JPEG2000:

Anstatt Cosinus-Transformation auf 8×8 wendet man eine Wavelet-Transformation auf größere Teilmatrizen an.

Wavelet-Ansatzfunktionen haben keine Problem mit Kanten, vgl. B-Splines. Genauere Untersuchung folgt.

Kosten für Wavelet-Transformation $O(n)$

Beispiel: MATLAB Gibbs-Phänomenen (recht.m)

Fourierkoeffizienten für Rechtecksignal;
Überschwingen an Kante unvermeidbar bei Darstellung durch
endliches trigonometrisches Polynom!

5.3.4. Lineare Filter:

Betrachte Vektor v , dessen Komponenten wieder diskrete Werte einer Funktion oder eines Bildes darstellen (Sampling).

Zunächst 1-dimensional.

Wir *filtern* diesen Vektor, indem wir jede Komponente ersetzen durch eine gewichtete Kombination der Nachbarkomponenten.

So entspricht die *Maske*:

$$\frac{1}{4} [1 \quad 2 \quad 1] \quad \text{der Operation} \quad v_j = \frac{v_{j-1} + 2v_j + v_{j+1}}{4},$$

bzw. der Matrixmultiplikation

$$v \rightarrow \frac{1}{4} \begin{pmatrix} \blacksquare & 2 & 1 & & & \\ & 1 & 2 & 1 & & \\ & & \ddots & \ddots & \ddots & \\ & & & 1 & 2 & 1 \\ & & & & 1 & 2 \\ & & & & & \blacksquare \end{pmatrix} \cdot v$$

Vorsicht am Rand! Fehlende Werte haben Einfluß auf Messwerte!
 Man benötigt Annahmen für v_0 und v_{n+1} . Was ist sinnvoll?

Im zwei-dim. entspricht dies z.B. der Maske

$$\frac{1}{8} \begin{bmatrix} 0 & 1 & 0 \\ 1 & 4 & 1 \\ 0 & 1 & 0 \end{bmatrix} \rightarrow v_{i,j} = \frac{v_{i,j-1} + v_{i-1,j} + 4v_{i,j} + v_{i,j+1} + v_{i+1,j}}{8},$$

Genauso Gaussfilter:

$$\frac{1}{16} \begin{bmatrix} 1 & 2 & 1 \\ 2 & 4 & 2 \\ 1 & 2 & 1 \end{bmatrix}$$

Dies entspricht glättenden Filtern, die zu einem weicherem Bild führen:

Mittelwertfilter, Glätter, Weichzeichner, oder Tiefpassfilter zur Abschwächung von Rauschen, bzw. hochfrequenten Anteilen. *Hochfrequente Störungen, die einzelne Komponente verändern, werden durch die Mittelwertbildung verringert!*

Entsprechend kann man Hochpassfilter definieren, die die Unterschiede hervorheben, das Bild härter machen und niederfrequente (glatte) Anteile abschwächen (Differenzfilter, Scharfzeichner).

z.B. Laplacefilter:
(Sobelfilter)

$$\begin{bmatrix} 0 & -1 & 0 \\ -1 & 4 & -1 \\ 0 & -1 & 0 \end{bmatrix}, \quad \begin{bmatrix} 0 & -1 & 0 \\ -1 & 0 & 1 \\ 0 & 1 & 0 \end{bmatrix}$$

Bisher entsprechen die Methoden einer *Filterung im Ortsraum*.
Im Gegensatz dazu kann man auch *Filter im Phasenraum*
(Frequenz~) zum Entfernen von Rauschen (Noise) verwenden:

$$v \rightarrow \text{DFT}(v) \rightarrow \text{Filter} \rightarrow \text{IDFT}(v)$$

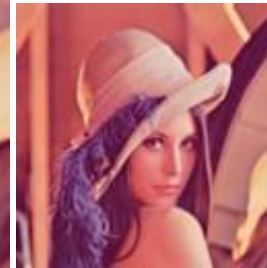
Also Transformation in (Fourier-)Koeffizientenraum,
dann Filtern der Koeffizienten = Gewichten/Löschen,
dann Rücktransformation (vgl. MP3)
Hochpassfilter, Tiefpass, Filterband,...

Filtern eines Bildes:

Original

Mittelwertfilter

Reduktion



Differenzfilter

Reduktion

Betrachte **Kombination** von Tiefpassfilter und Hochpassfilter im 1-Dimensionalen zu Masken

$$\begin{bmatrix} 1 & 1 \end{bmatrix} / 2 \quad \text{und} \quad \begin{bmatrix} 1 & -1 \end{bmatrix} / 2$$

Ersetze den ursprünglichen Vektor verlustfrei durch tief-, bzw. hochpass-gefilterte Vektoren halber Länge (down sampling):

$$\begin{pmatrix} v_t \\ v_h \end{pmatrix} = \frac{1}{2} \begin{pmatrix} 1 & 1 & & & & \\ & & 1 & 1 & & \\ & & & & \ddots & \ddots \\ 1 & -1 & & & & \\ & & 1 & -1 & & \\ & & & & \ddots & \ddots \end{pmatrix} \cdot v$$

oder

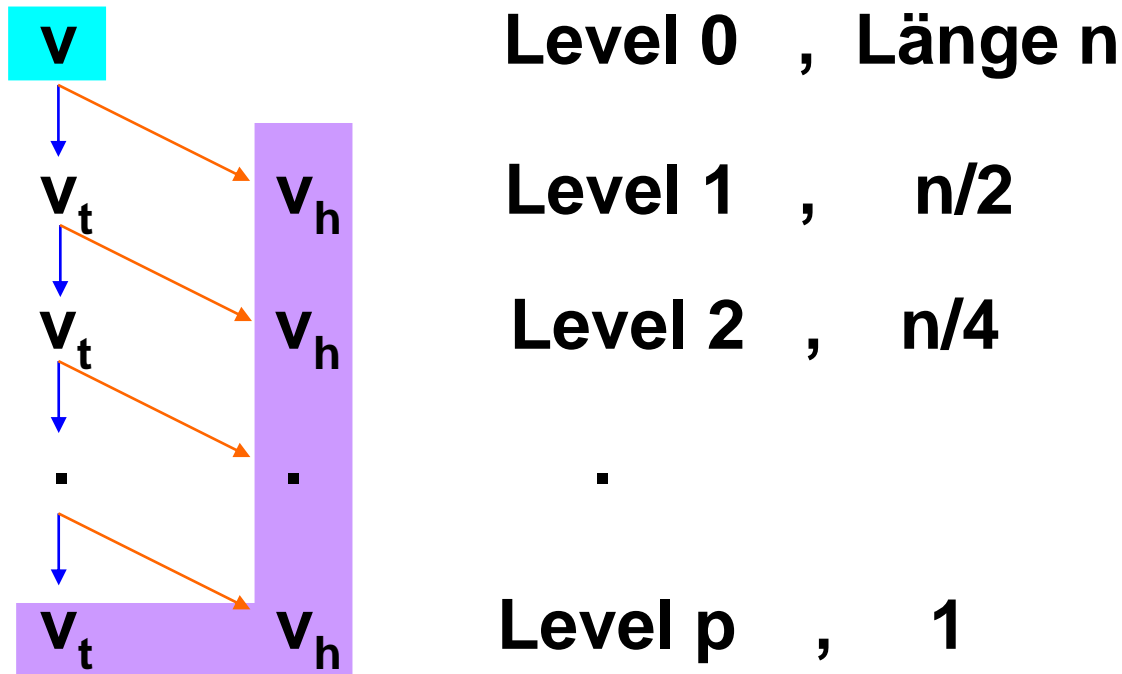
$$\frac{1}{2} \begin{pmatrix} \boxed{\begin{matrix} 1 & 1 \\ 1 & -1 \end{matrix}} & & & & & \\ & \boxed{\begin{matrix} 1 & 1 \\ 1 & -1 \end{matrix}} & \dots & & & \\ & & \dots & \dots & & \\ & & & \dots & \dots & \\ & & & & \boxed{\begin{matrix} 1 & 1 \\ 1 & -1 \end{matrix}} & \end{pmatrix} \cdot v$$

(nur anders sortiert)

Der Differenzanteil v_h ist in der Regel klein und wird nicht weiterbearbeitet!

Der Mittelwertanteil (tiefpassgefiltert) v_t wird nach demselben Schema weiteraufgespalten wiederum in Tief/Hochpassanteil durch dieselben Masken.

Insgesamt:



Ersetze nun den Ausgangsvektor $v \in \mathbf{R}^n$ durch den letzten Mittelwertanteil auf Level p und sämtliche Differenzanteile v_h , das sind auch genau n Zahlen.

(v_h und v_t entsprechen quasi den Fourierkoeffizienten)

Vorteile:

Gesamtkosten der Transformation $O(n)$! Warum?
Differenz-Anteile meist klein \rightarrow gut komprimierbar

Differenzanteil auf Level k enthält Information über das Verhalten von v auf diesem Level, bzw. in dieser Auflösung
 \rightarrow

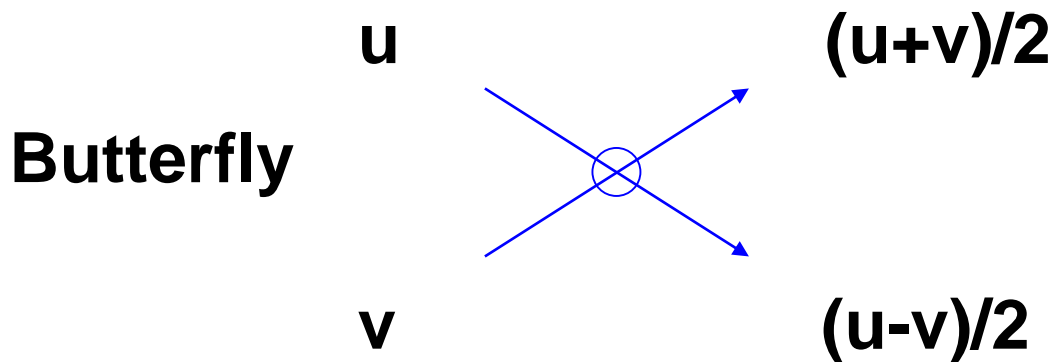
Multiskalenanalyse, Zerlegung des Vektors in verschiedene Frequenzbereiche = Skalen
Entspricht in etwa der Fourier-Analyse.

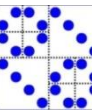
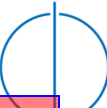
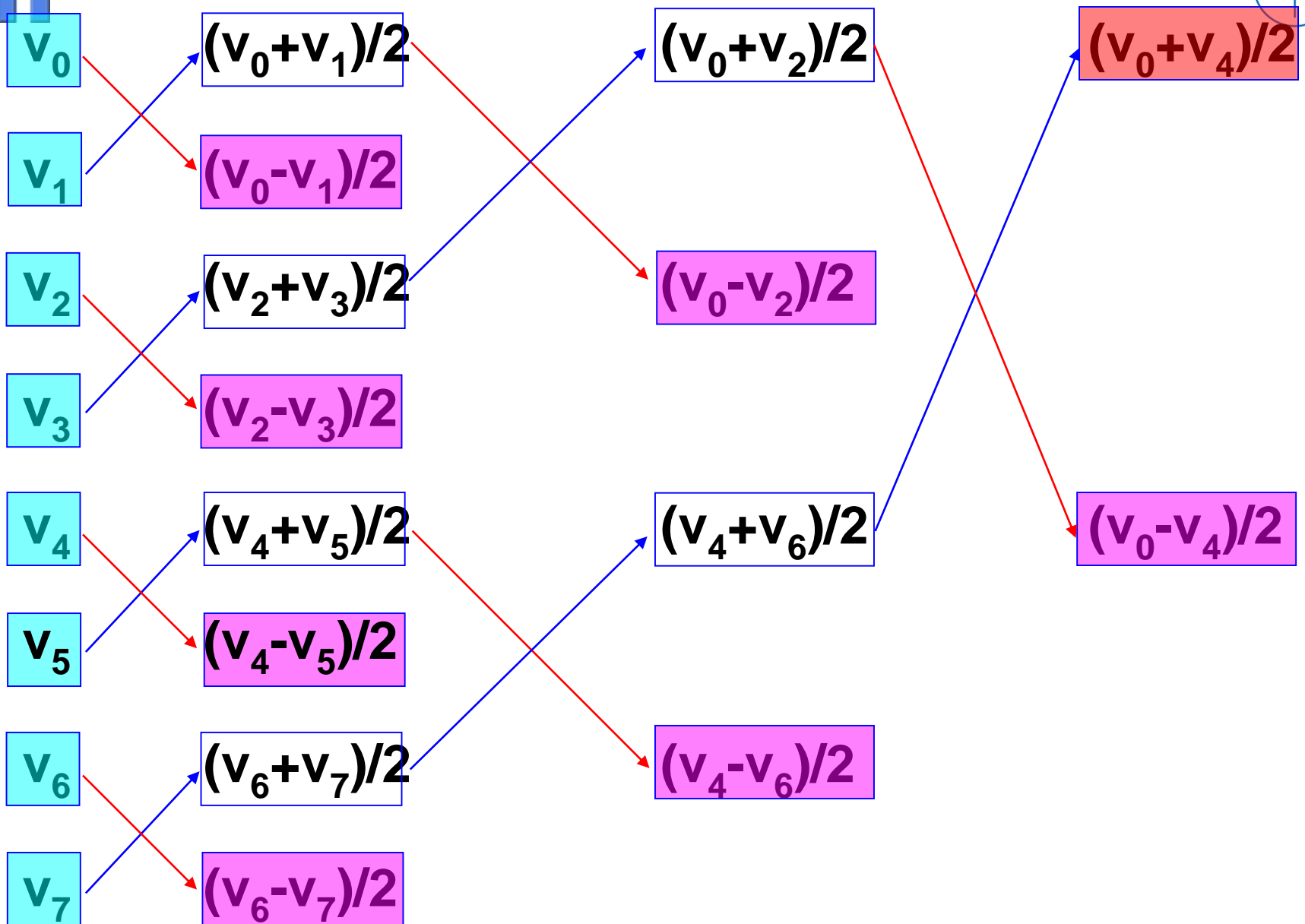
Filter müssen sparse sein damit billig,
leicht umkehrbar (invertierbar) damit Original rekonstruierbar!
(vgl. DFT und IDFT)

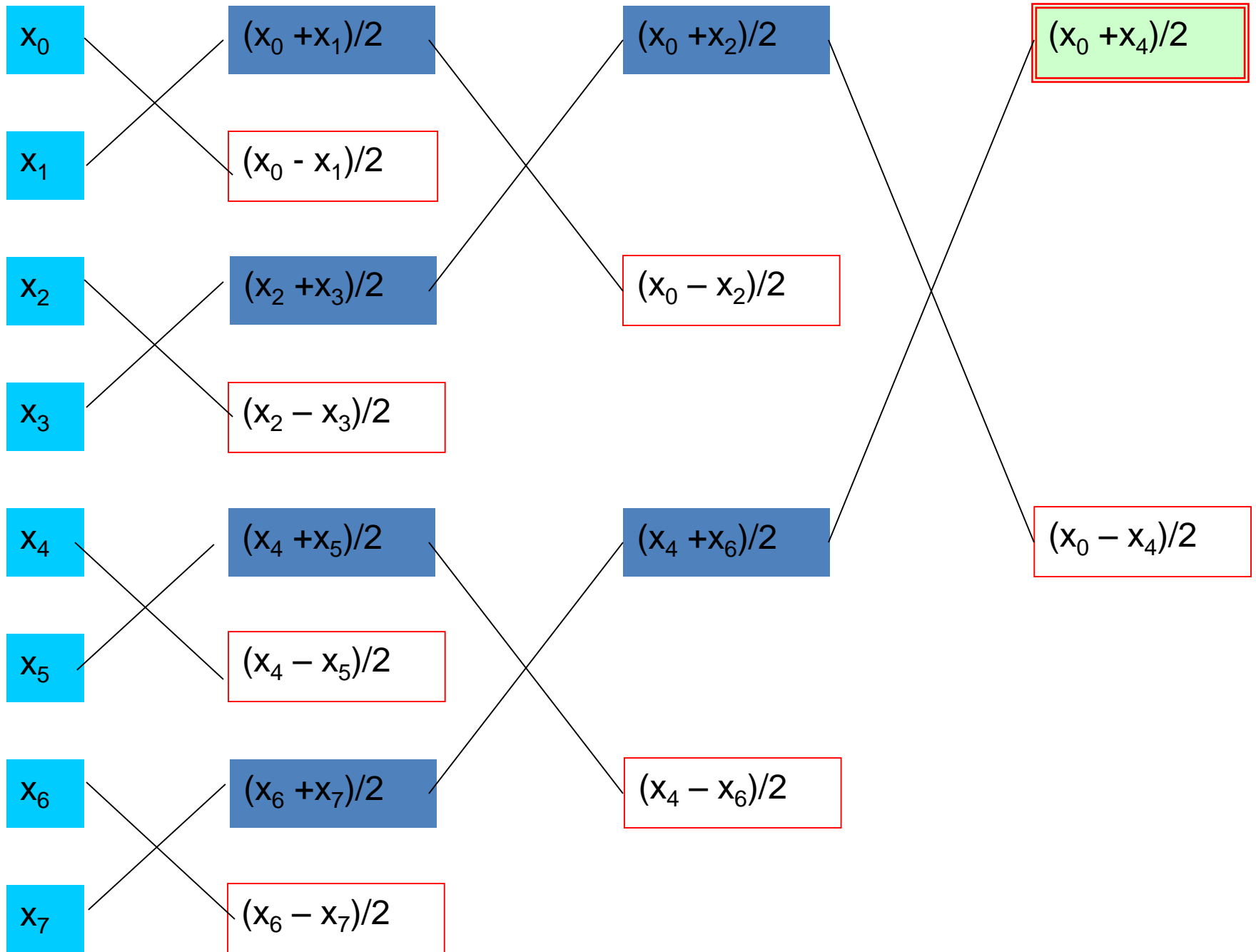
Aufspalten in Frequenzanteil (hoch – tief).

Algorithmische Ähnlichkeit zur Fourier-Transformation am Beispiel des Haar-Filters mit den Masken

$$\frac{1}{2} \begin{bmatrix} 1 & 1 \end{bmatrix} \quad \text{und} \quad \frac{1}{2} \begin{bmatrix} 1 & -1 \end{bmatrix} :$$







v wird dabei transformiert in alle Differenzanteile und den letzten Mittelwert.

Unterschied zur DFT:

keine Sortierphase,

einfacherer Butterfly,

nur die Mittelwertanteile werden weiter bearbeitet

$\rightarrow O(n)$

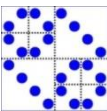
Bessere Filterkombination, z.B. Daubechey-Wavelets

$$\left[1 + \sqrt{3} \quad 3 + \sqrt{3} \quad 3 - \sqrt{3} \quad 1 - \sqrt{3} \right] / 4\sqrt{2}$$

Mittelwert-Filter

$$\left[1 - \sqrt{3} \quad -3 + \sqrt{3} \quad 3 + \sqrt{3} \quad -1 - \sqrt{3} \right] / 4\sqrt{2}$$

Differenz-filter



Filterkoeffizienten beschreiben rekursiv eine Funktion.

Sie beschreiben den Zusammenhang der Waveletfunktion von einer Skalierung zu einer anderen:

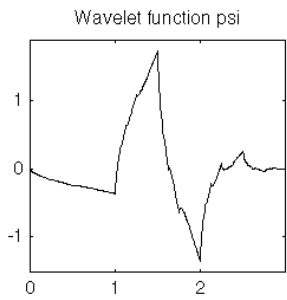
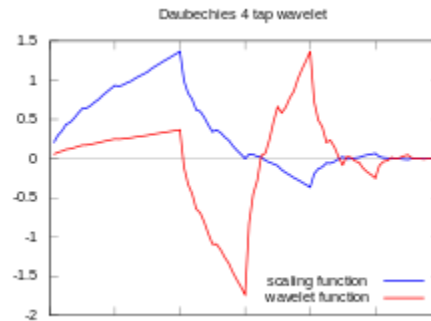
$$\Phi(x) = \sum_k a_k \Phi(2x - k)$$

$$\Phi(2^j x - k), \quad W(2^j x - k)$$

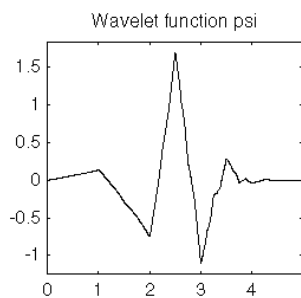
Funktion $W(x)$ erzeugt Basis, vergleiche $\cos(x)$.



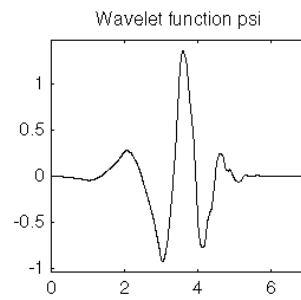
Daubechies Wavelets (orthogonal)



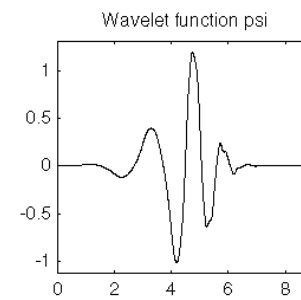
db2



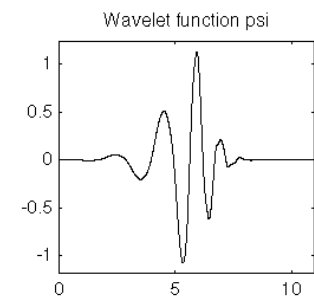
db3



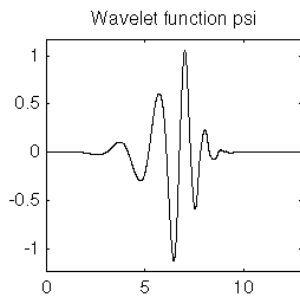
db4



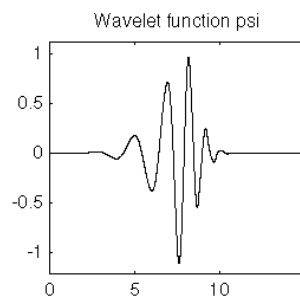
db5



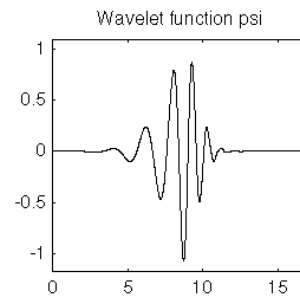
db6



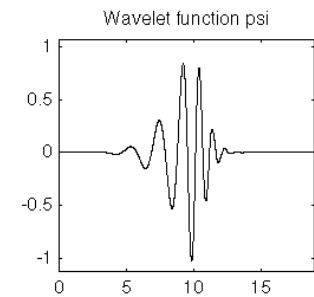
db7



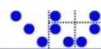
db8



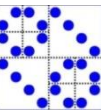
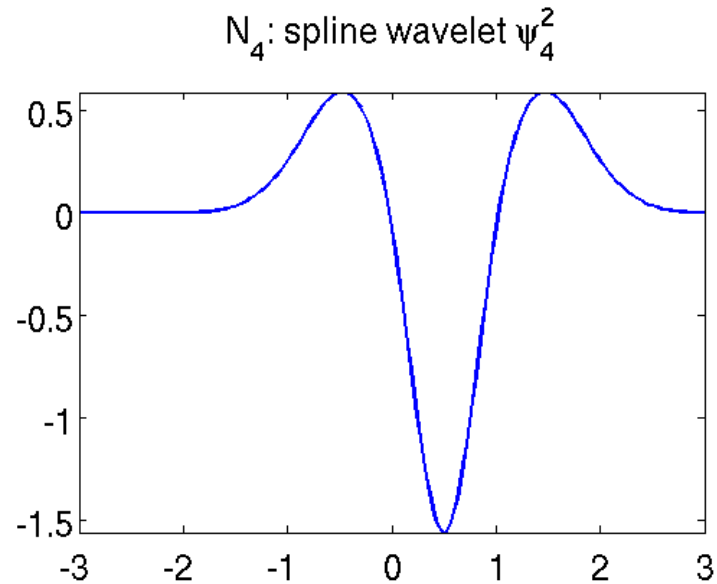
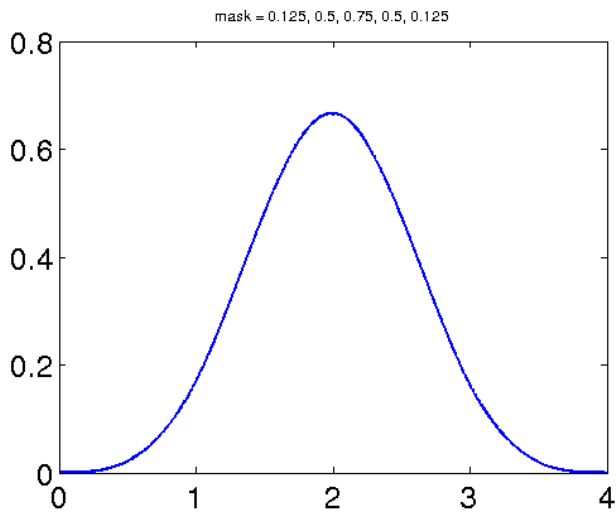
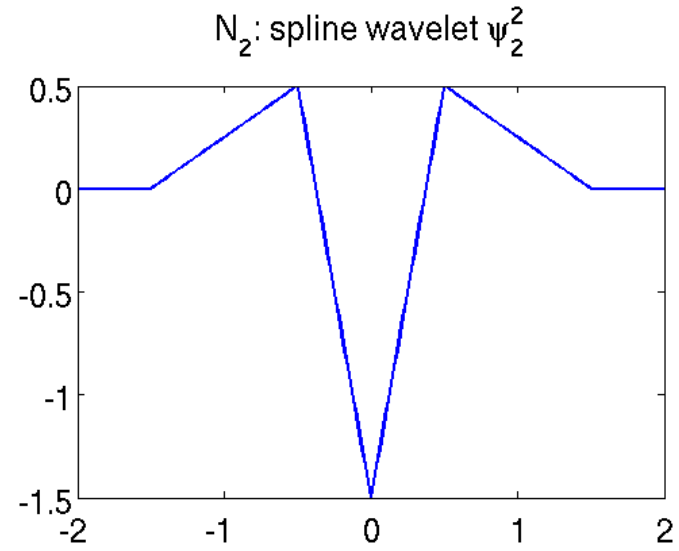
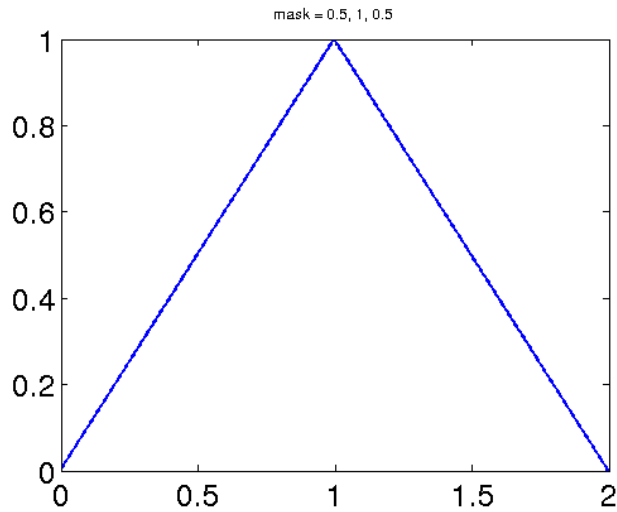
db9



db10

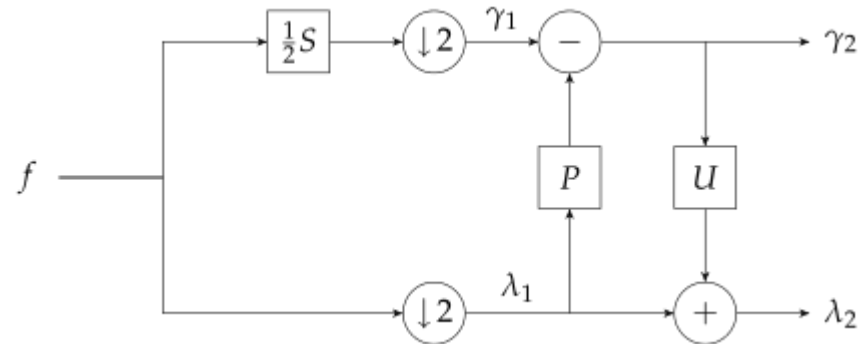


Spline Wavelets

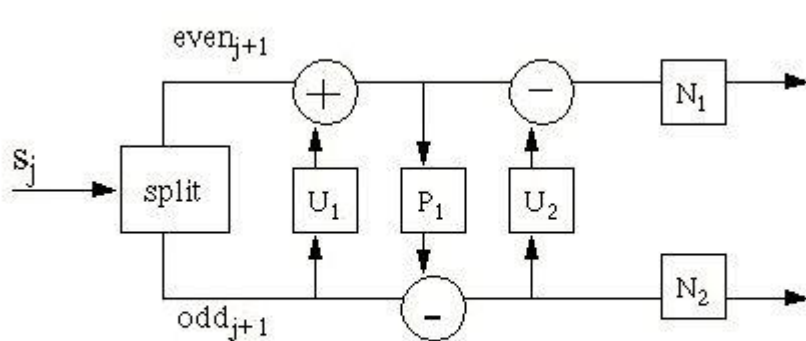




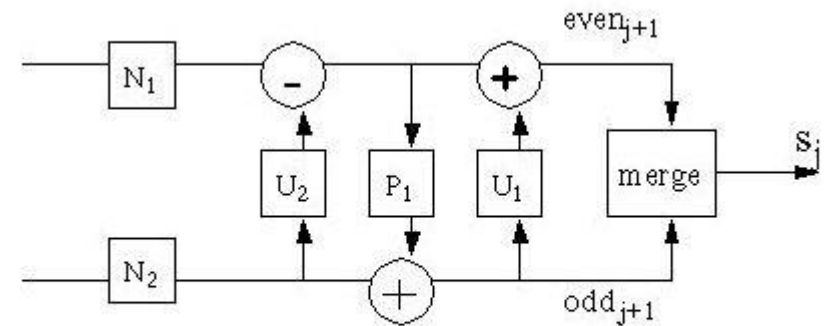
Lifting Scheme (ohne Funktion)



Splitten in Gerade/Ungerade wie Reißverschluss.
Dann zwei oder mehr Filteroperationen wie Predictor/Update.
Vorteil: Leicht umkehrbar.



Daubechies D4 forward wavelet transform



Daubechies D4 inverse wavelet transform

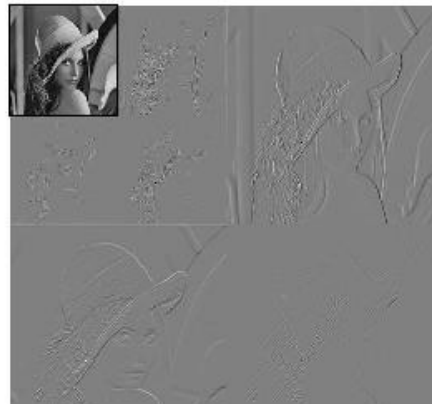
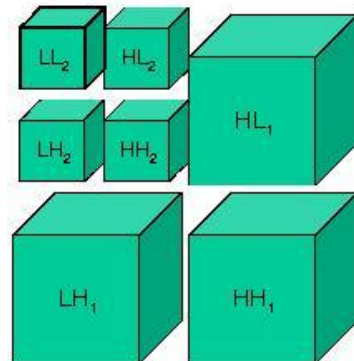
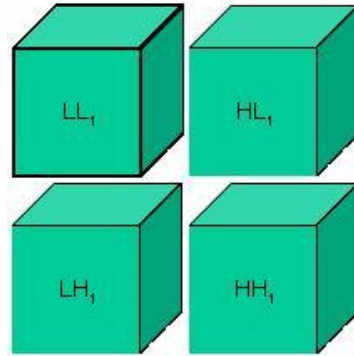
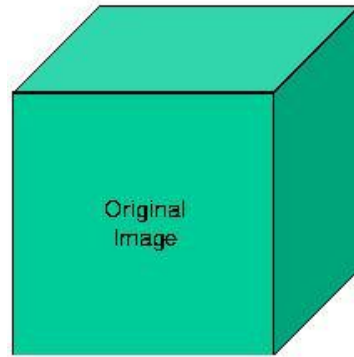
Wavelet als Verschmelzung der
klassischen Filter und
Fourieranalyse

mit der Idee

lokaler Basisfunktionen wie bei den B-Splines.

Haar-Filter \leftrightarrow Haar-Wavelet

- Orthogonale Wavelet,
- biorthogonale Wavelets,
- Frames,
- Lifting Scheme, ...



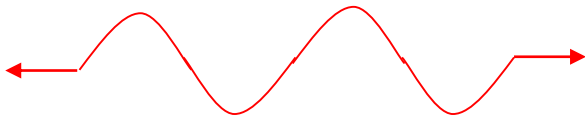


$\cos(kx), \sin(kx)$

Skalierung k

Alle gleichberechtigt

globaler Träger



keine Variations-
möglichkeit

Kantenproblem

Volle Rekursion

Kosten $O(n \log(n))$

Frequenz aus

Fourierkoeffizienten



$W(2^jx-m), \Phi(2^jx-m)$

Shift m , Skalierung 2^j

Mittelwert/Differenz

lokaler Träger



Wahl von Approximations-
güte und Diff'barkeit

Lokal, adaptiv

Rekursion nur im Mittelwert

Kosten $O(n)$

Frequenz aus

Waveletkoeffizienten

